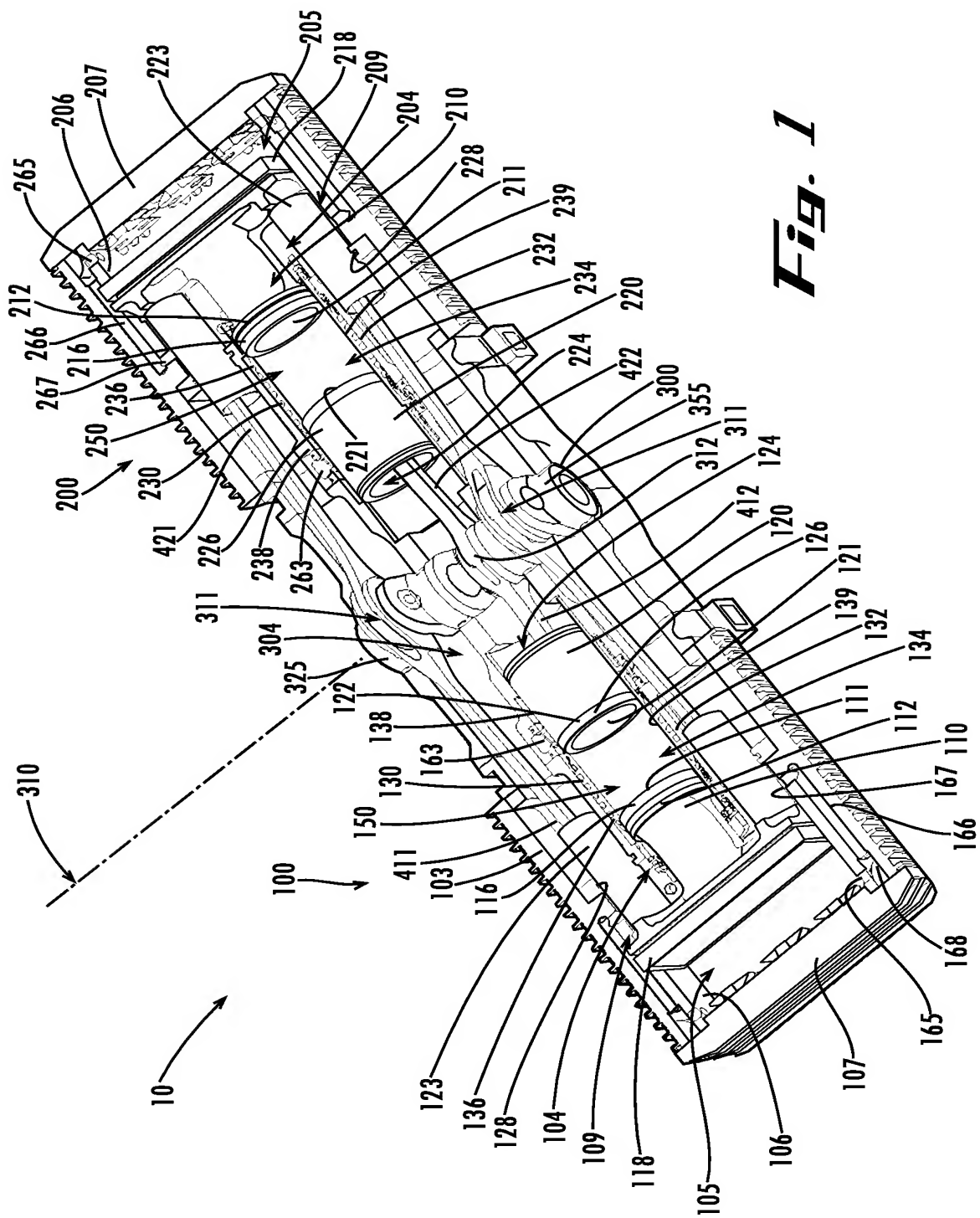


Fig. 1



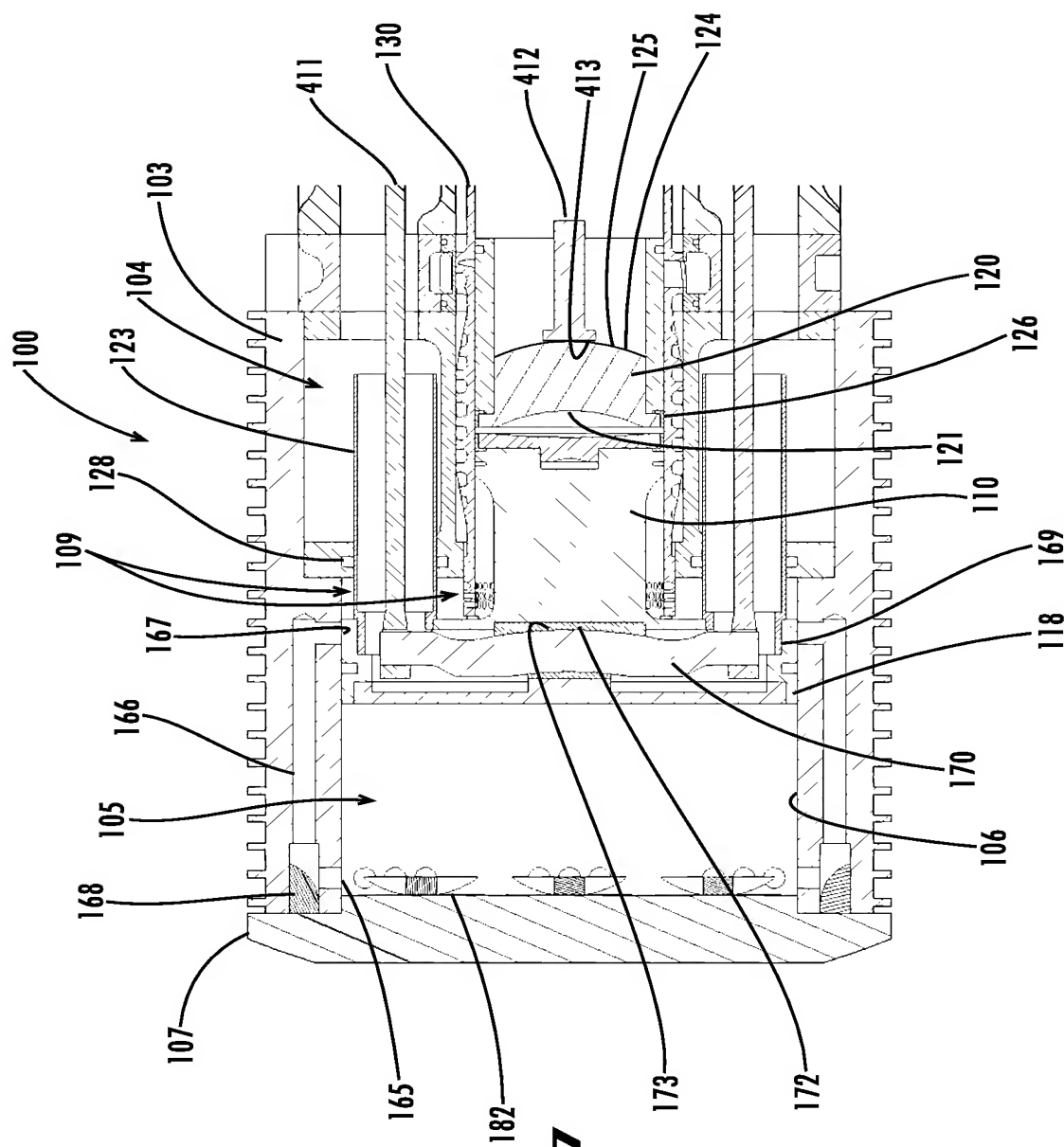


Fig. 2

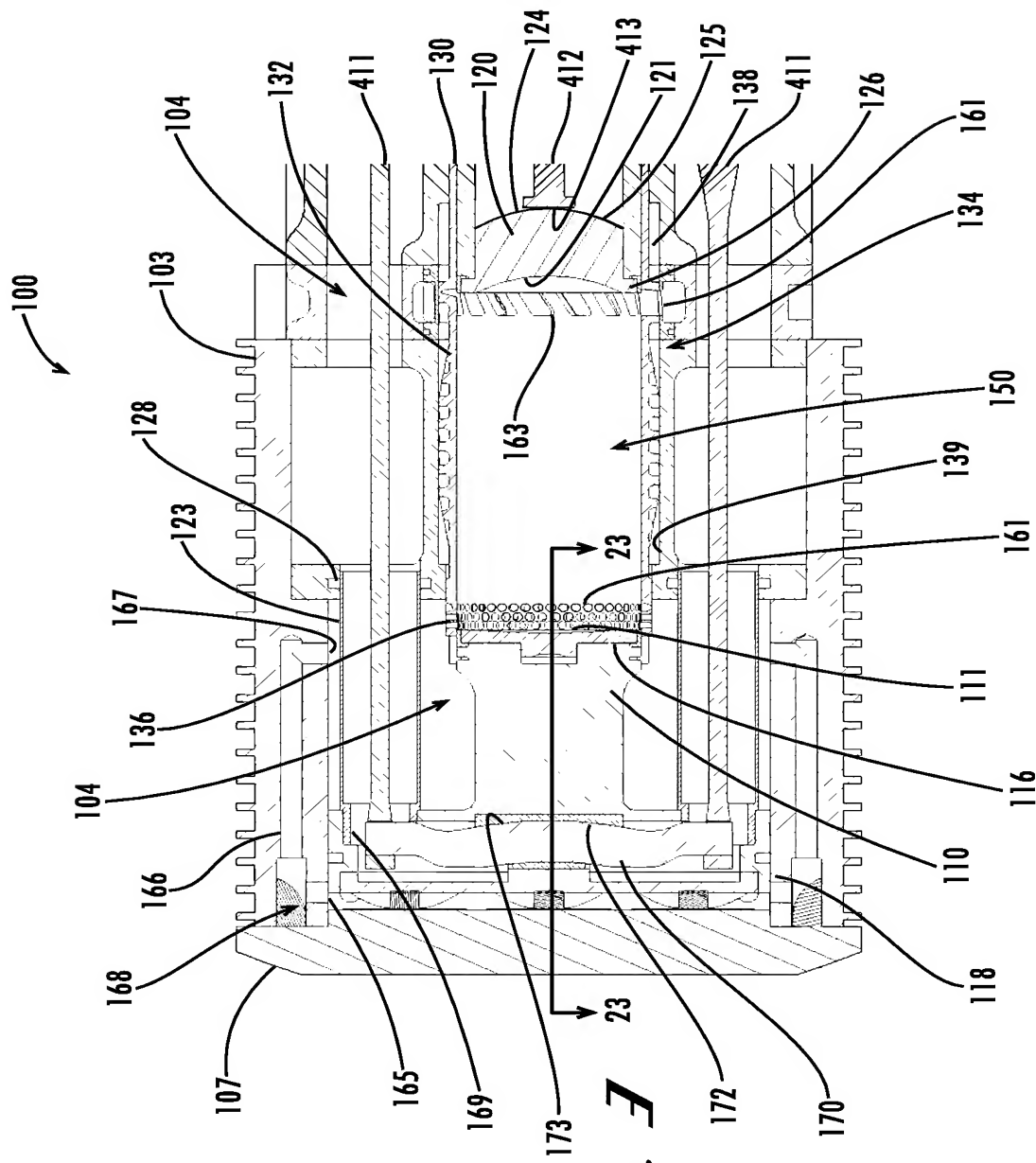


Fig. 3

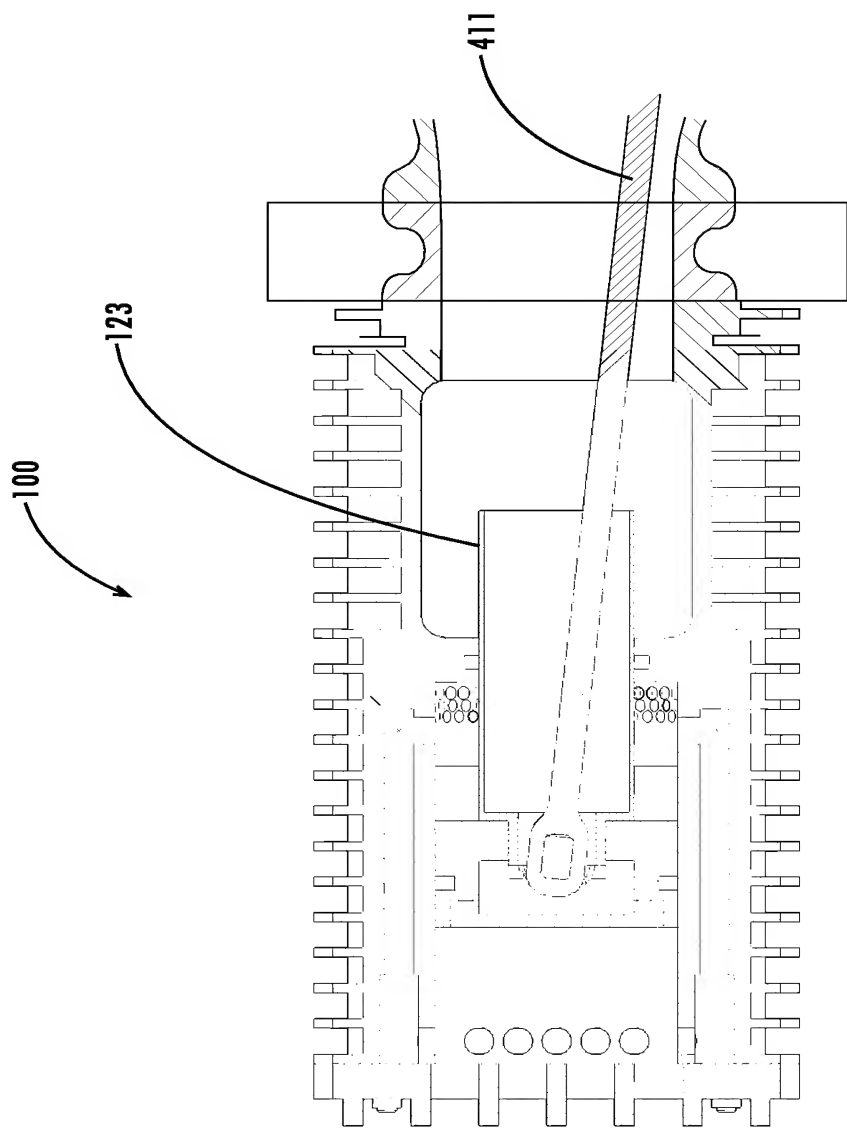


Fig. 4

Fig. 5

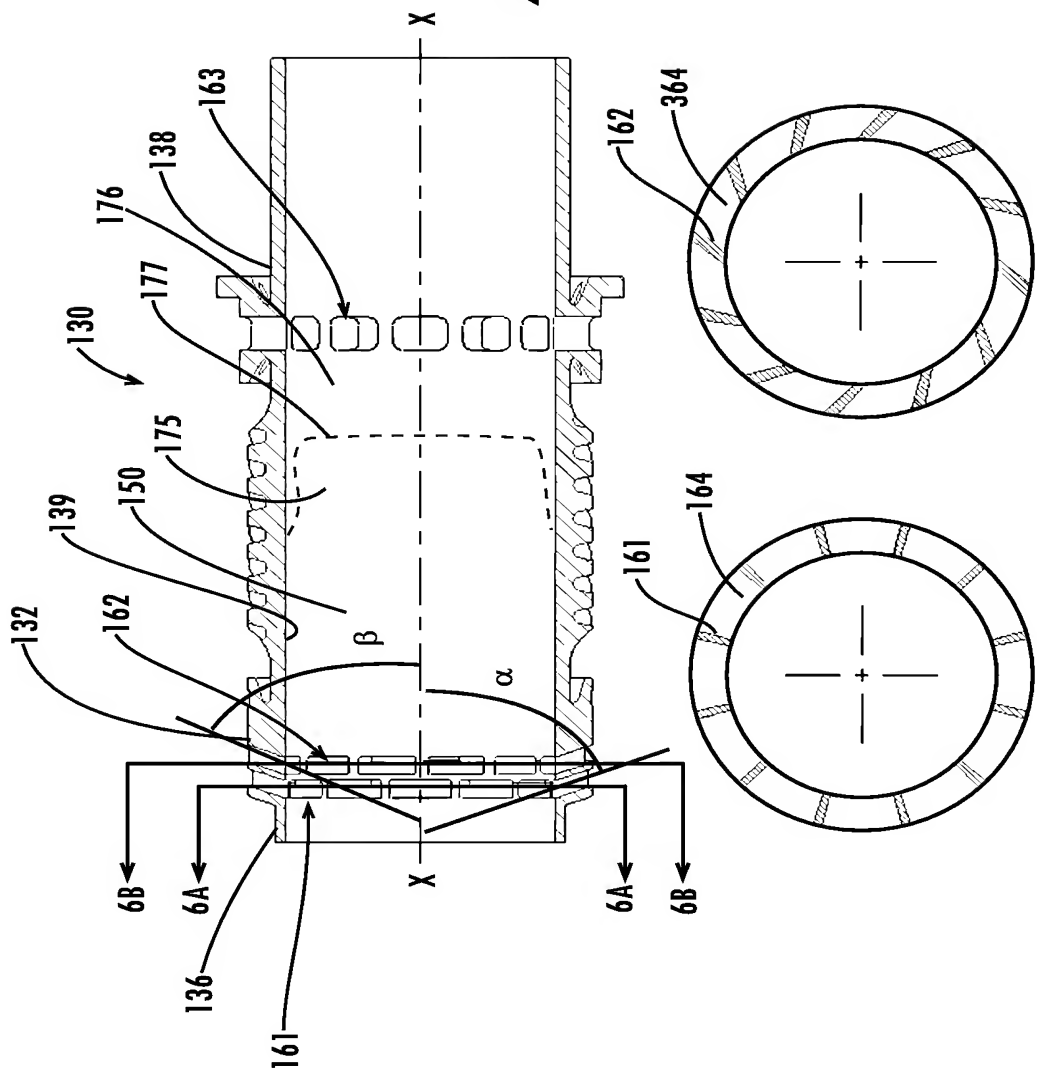


Fig. 6A Fig. 6B

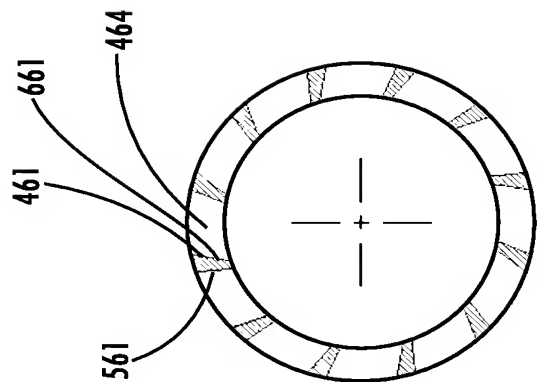


Fig. 7B

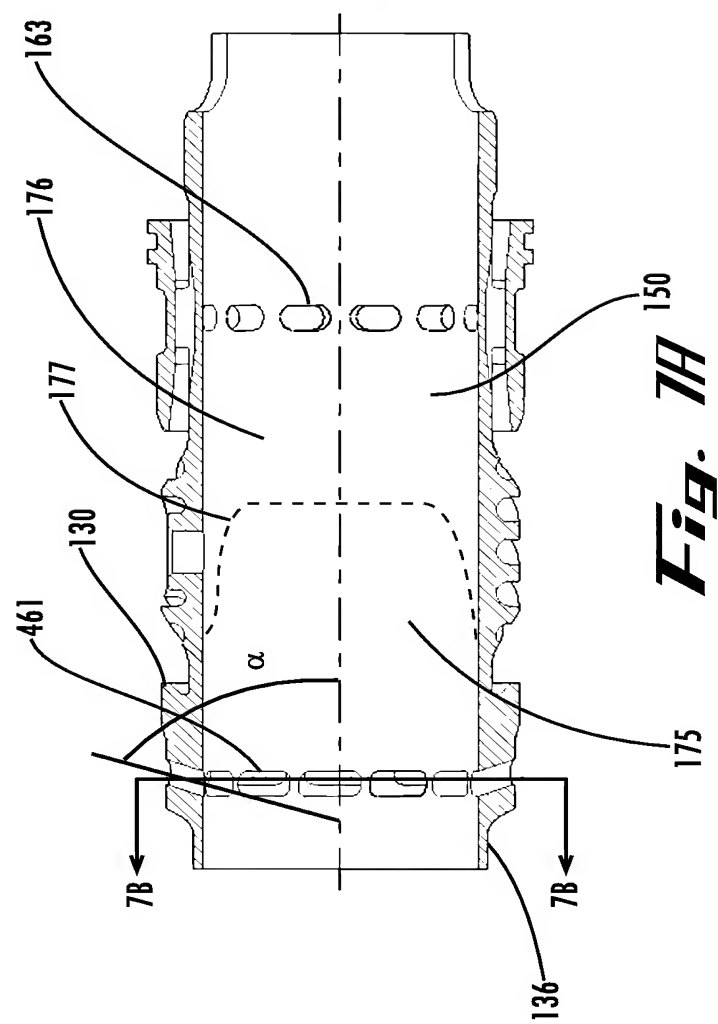


Fig. 7H

7/23

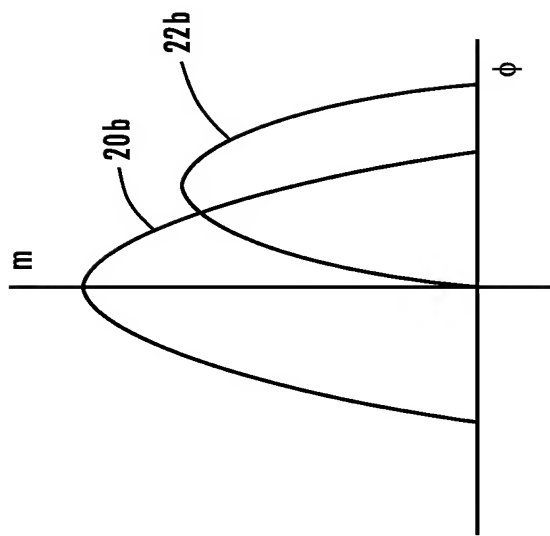


Fig. 8B

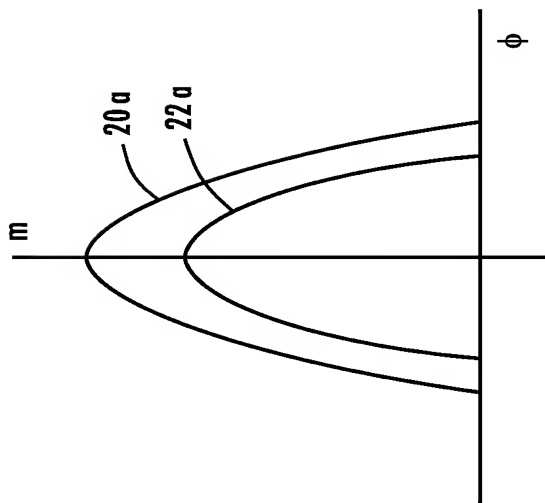


Fig. 8H

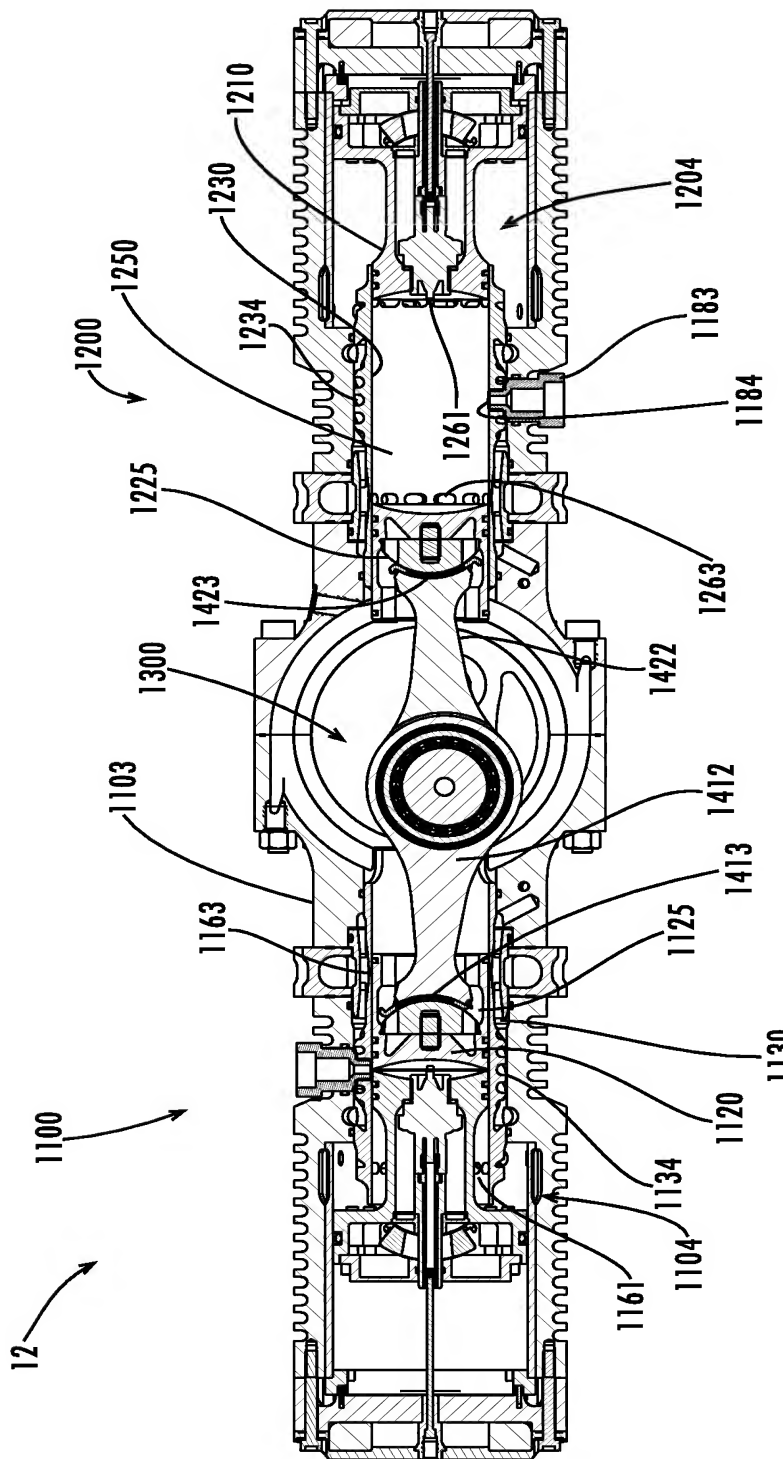


Fig. 9

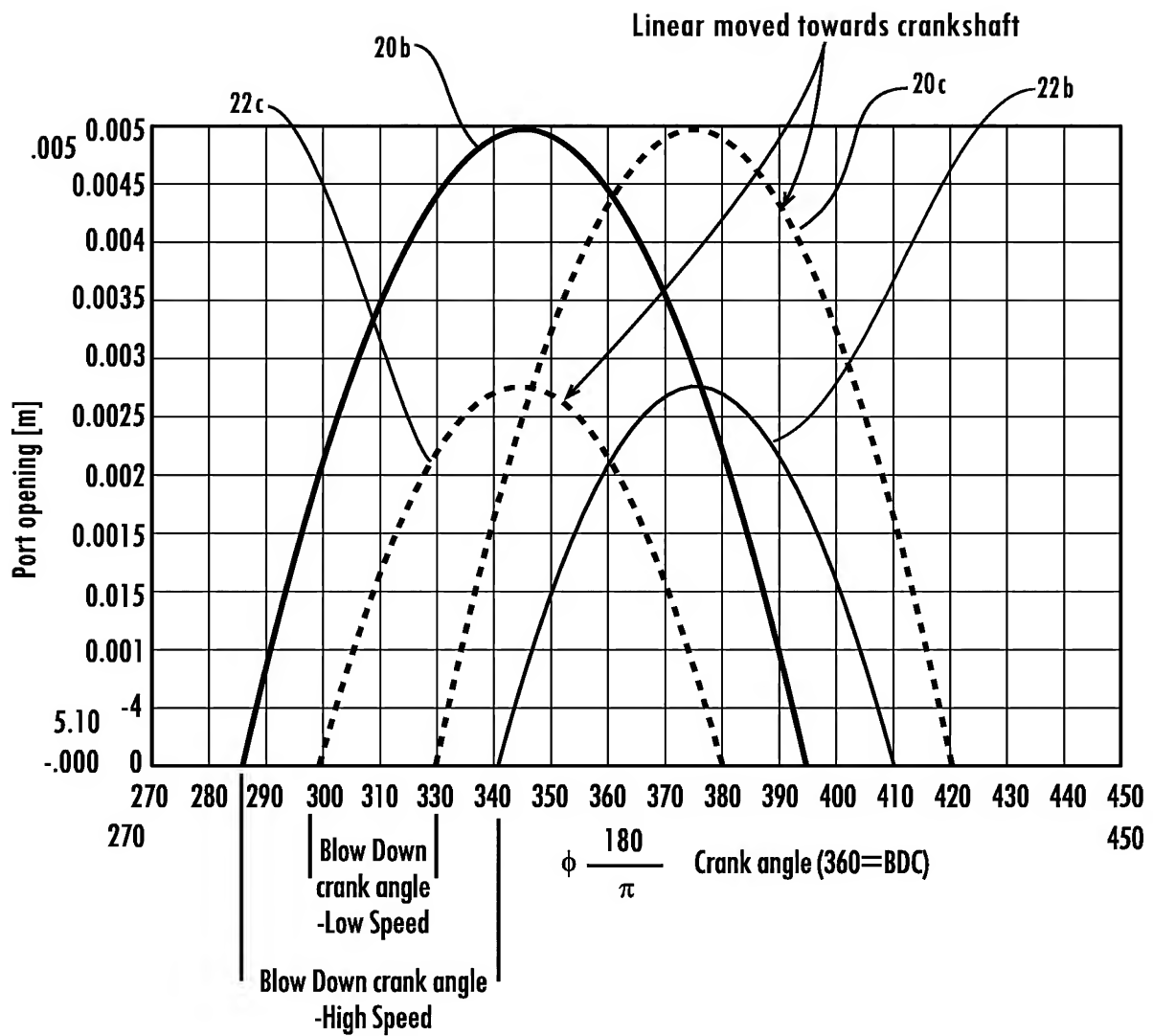


Fig. II

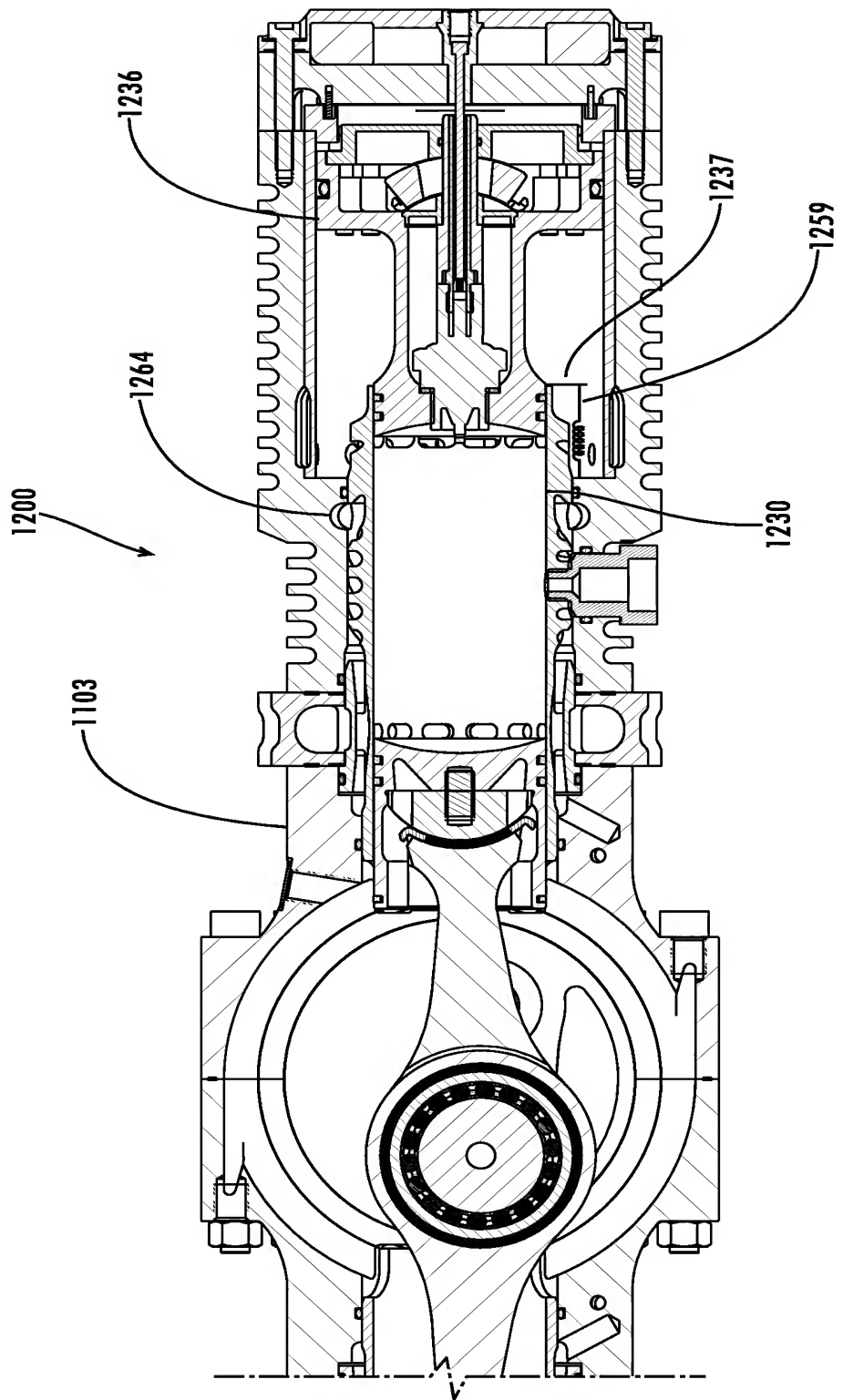


Fig. 11

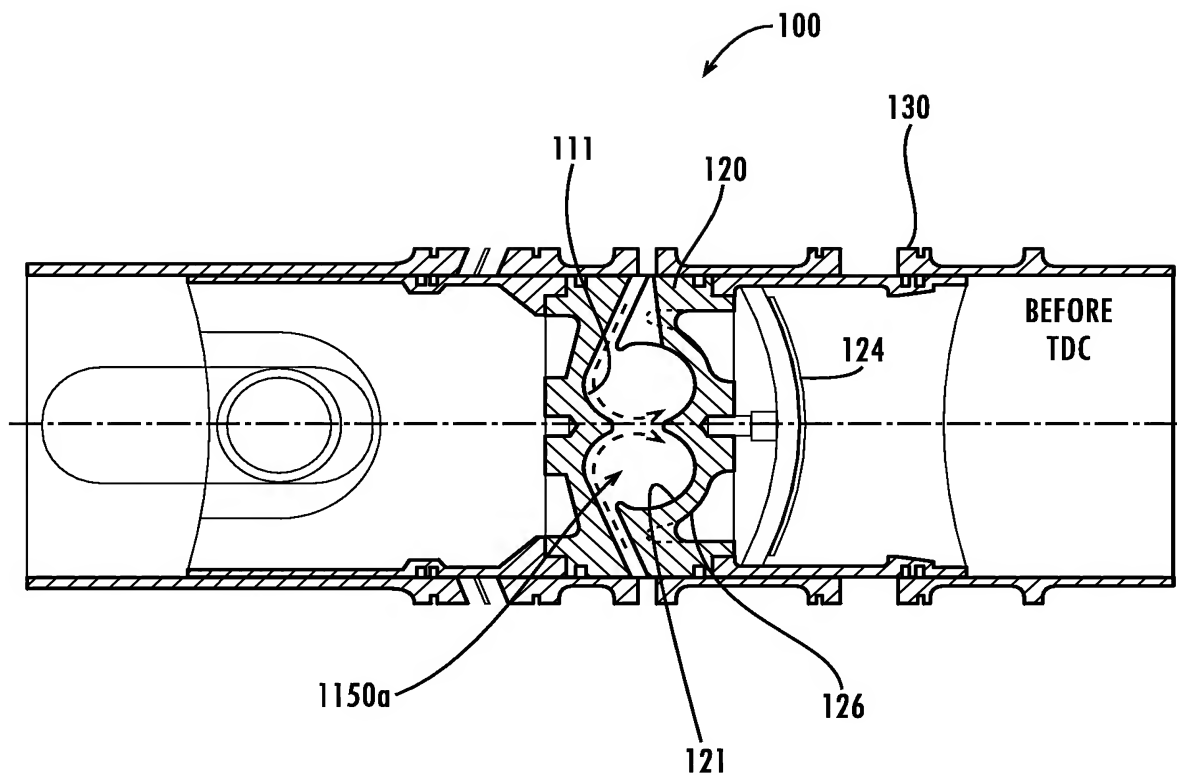


Fig. 12

Fig. 17A

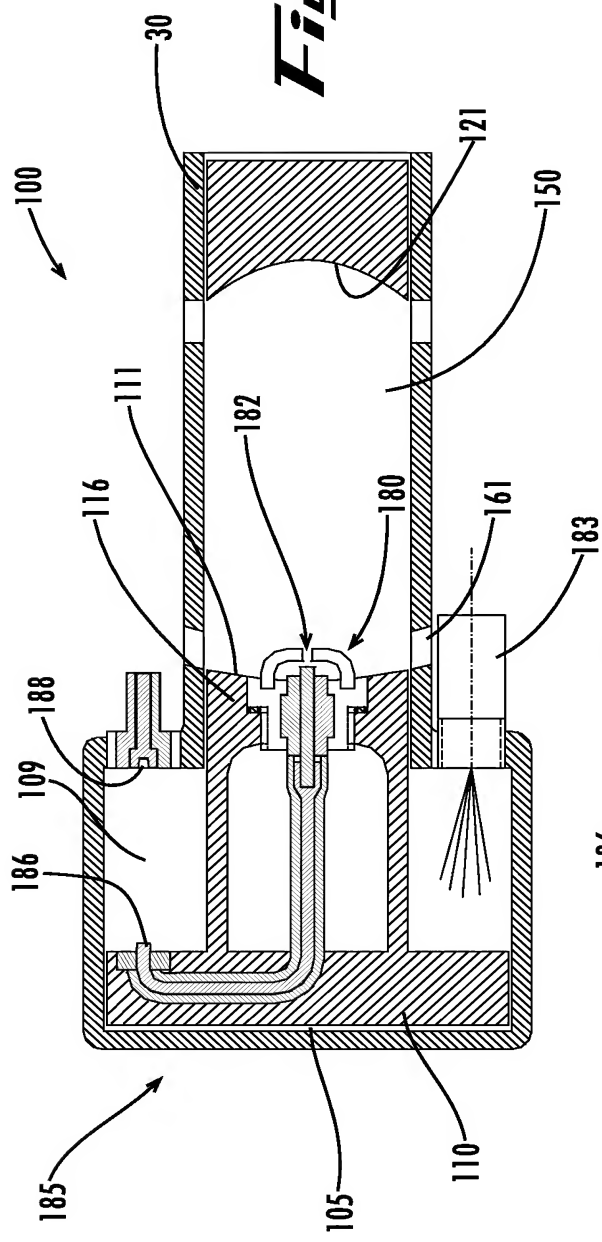
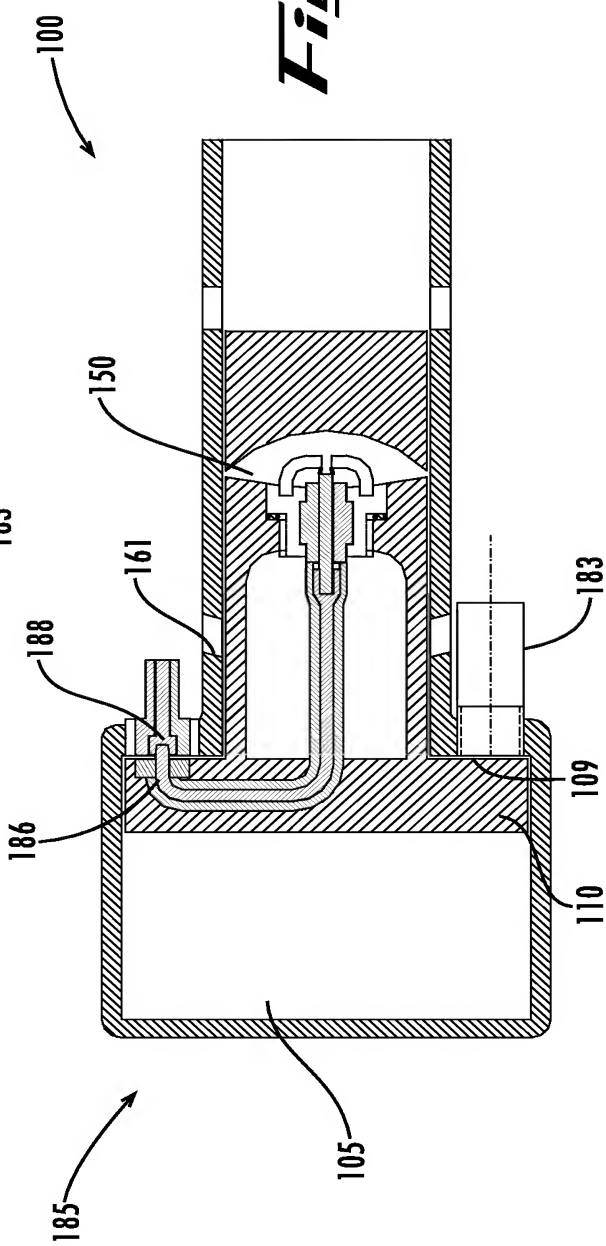


Fig. 17B



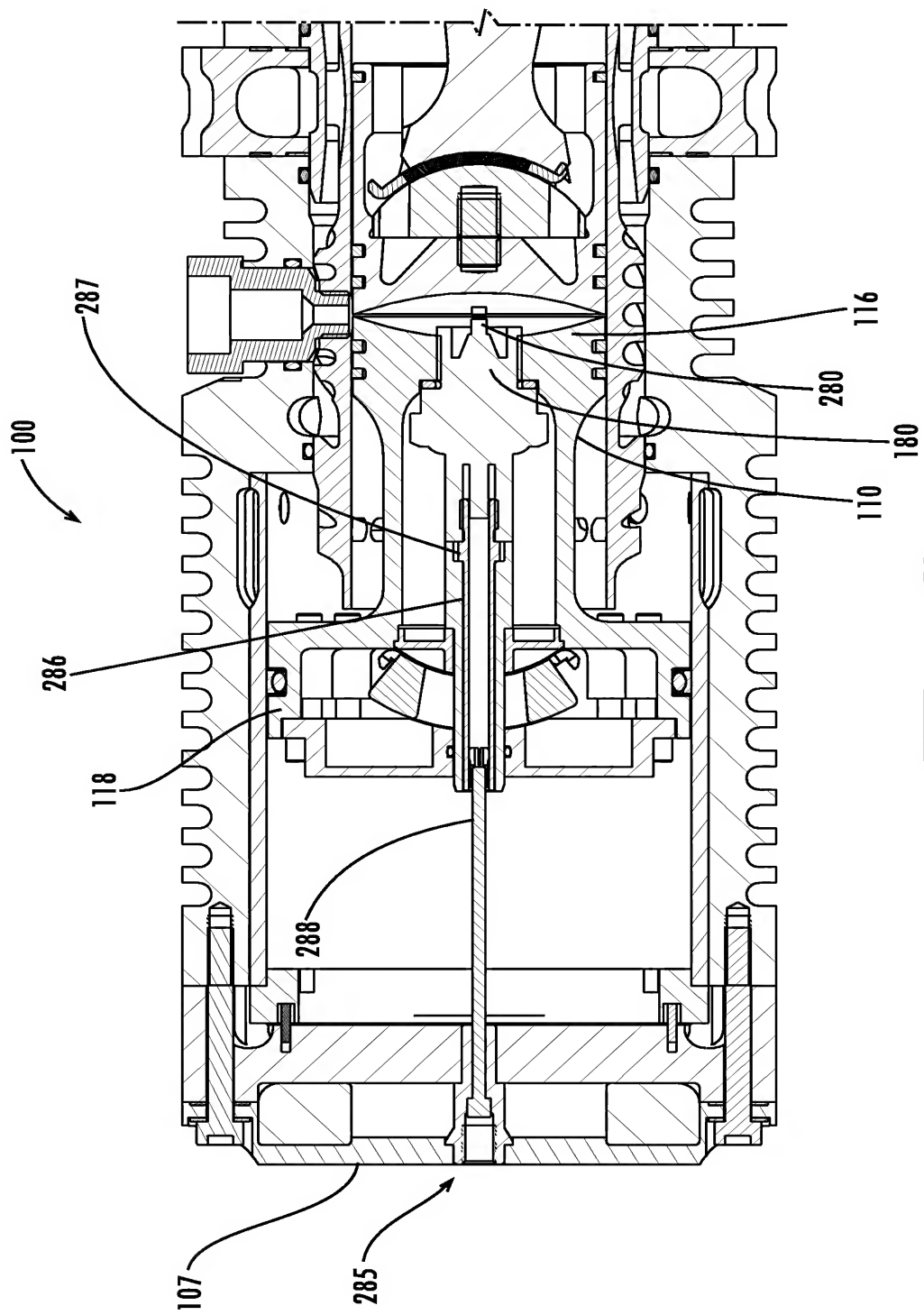


Fig. 14

14/23

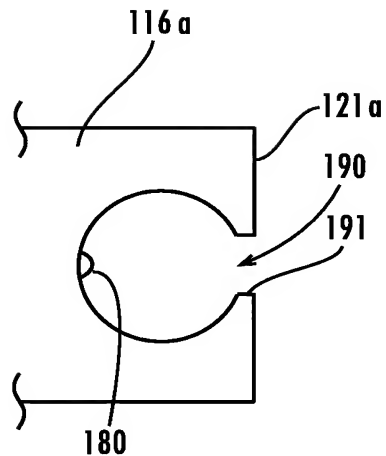


Fig. 15A

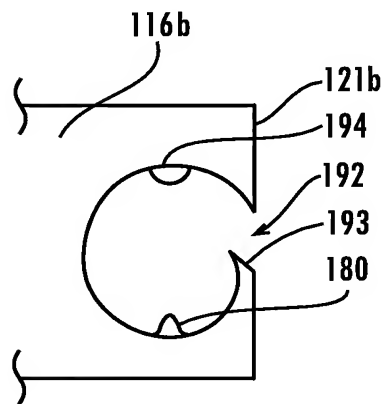


Fig. 15B

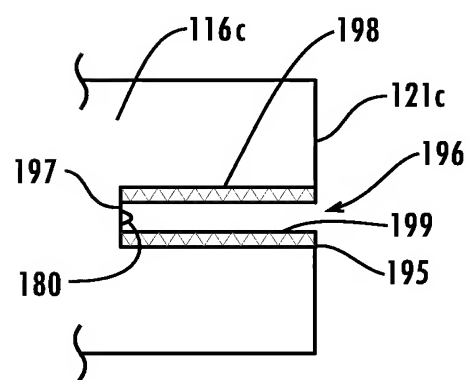


Fig. 15C

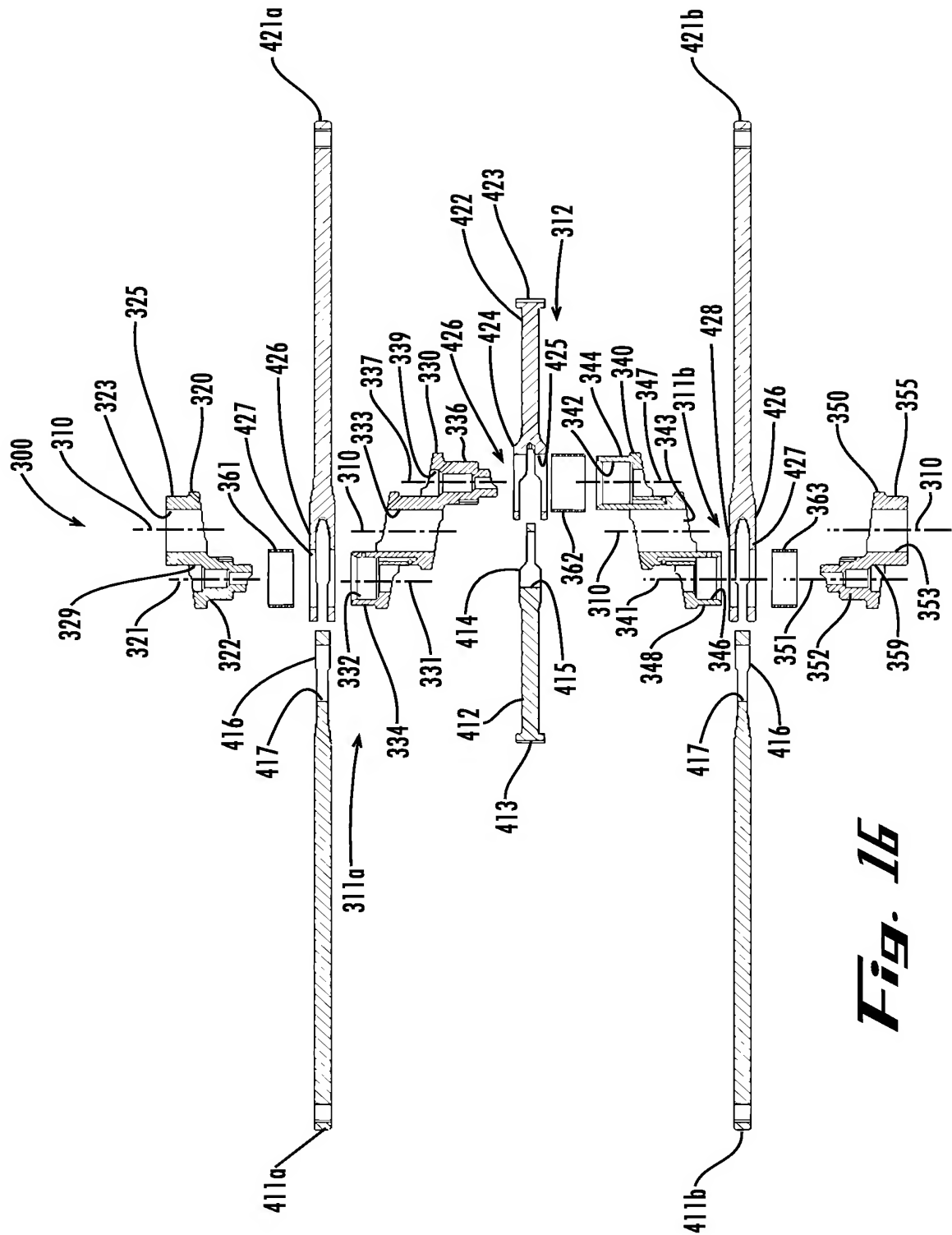


Fig. 16

16/23

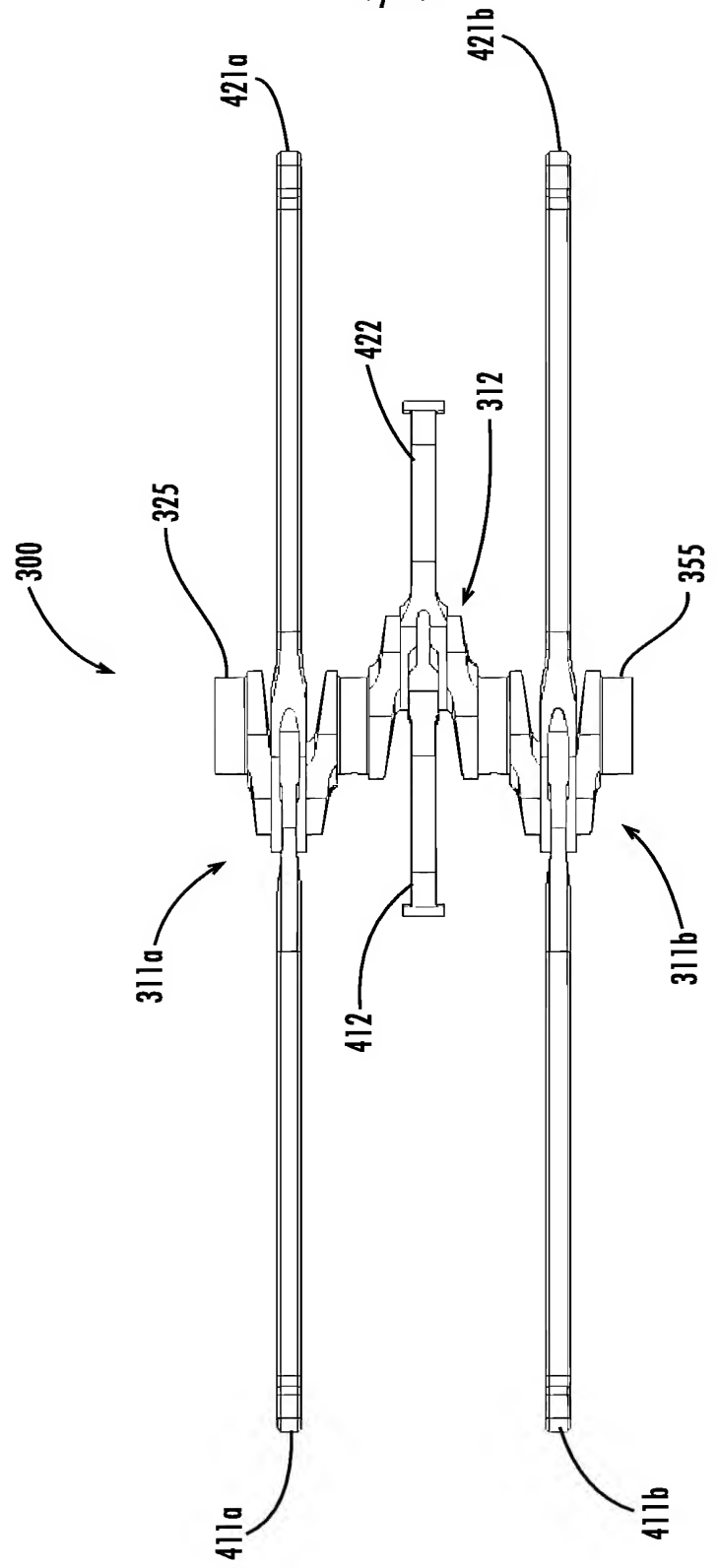


Fig. 17

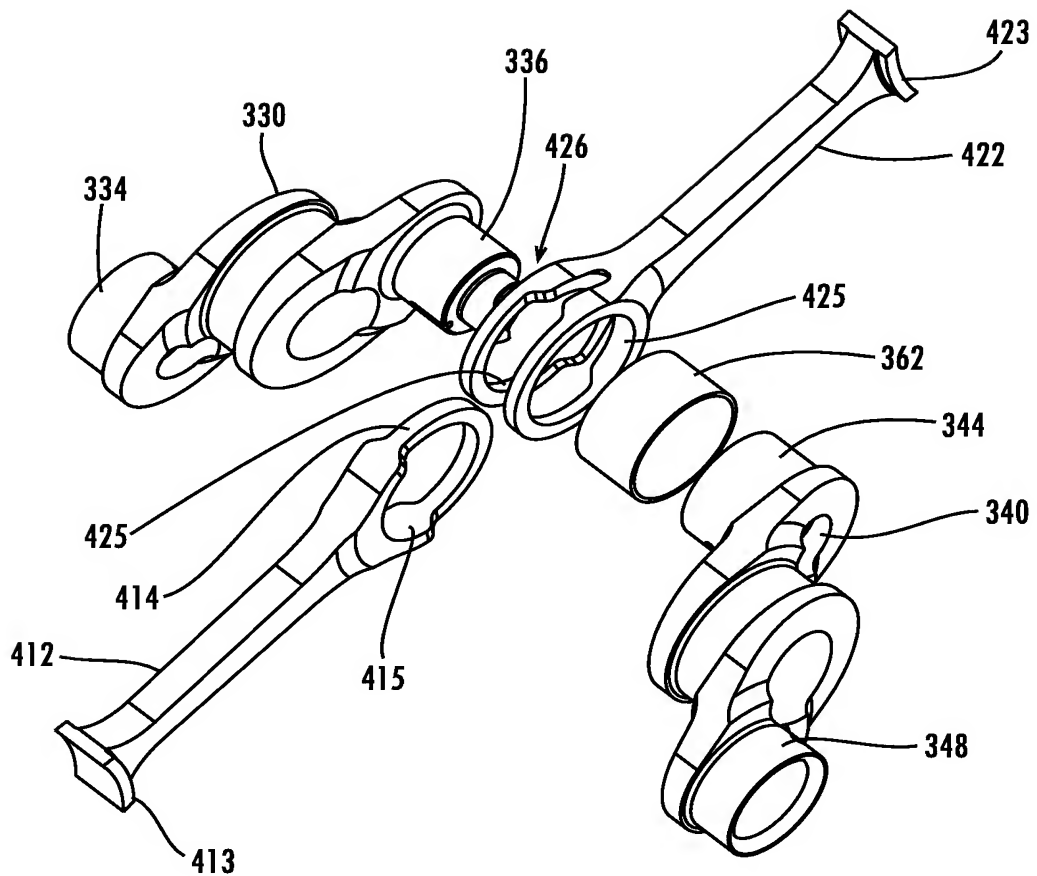


Fig. 18

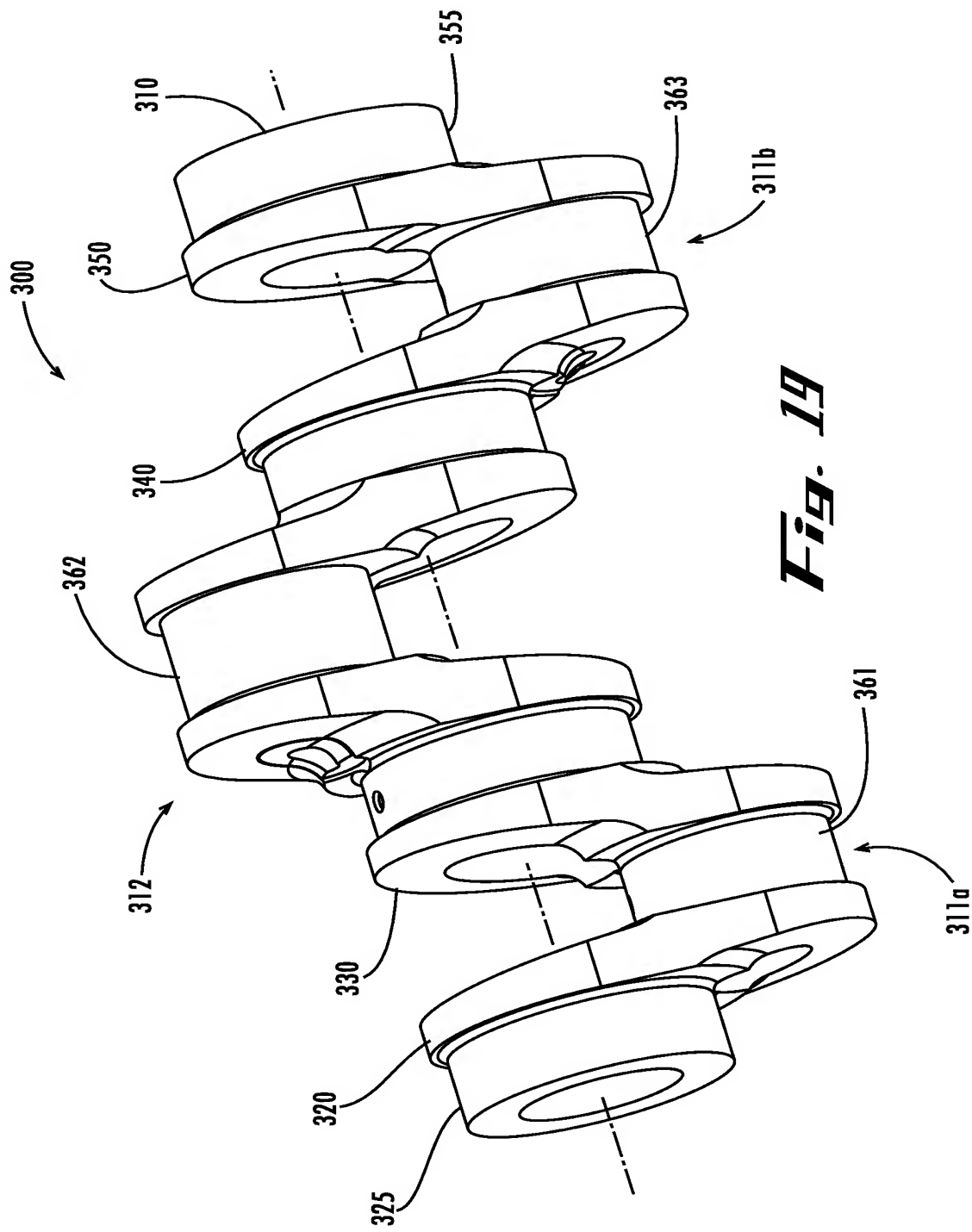
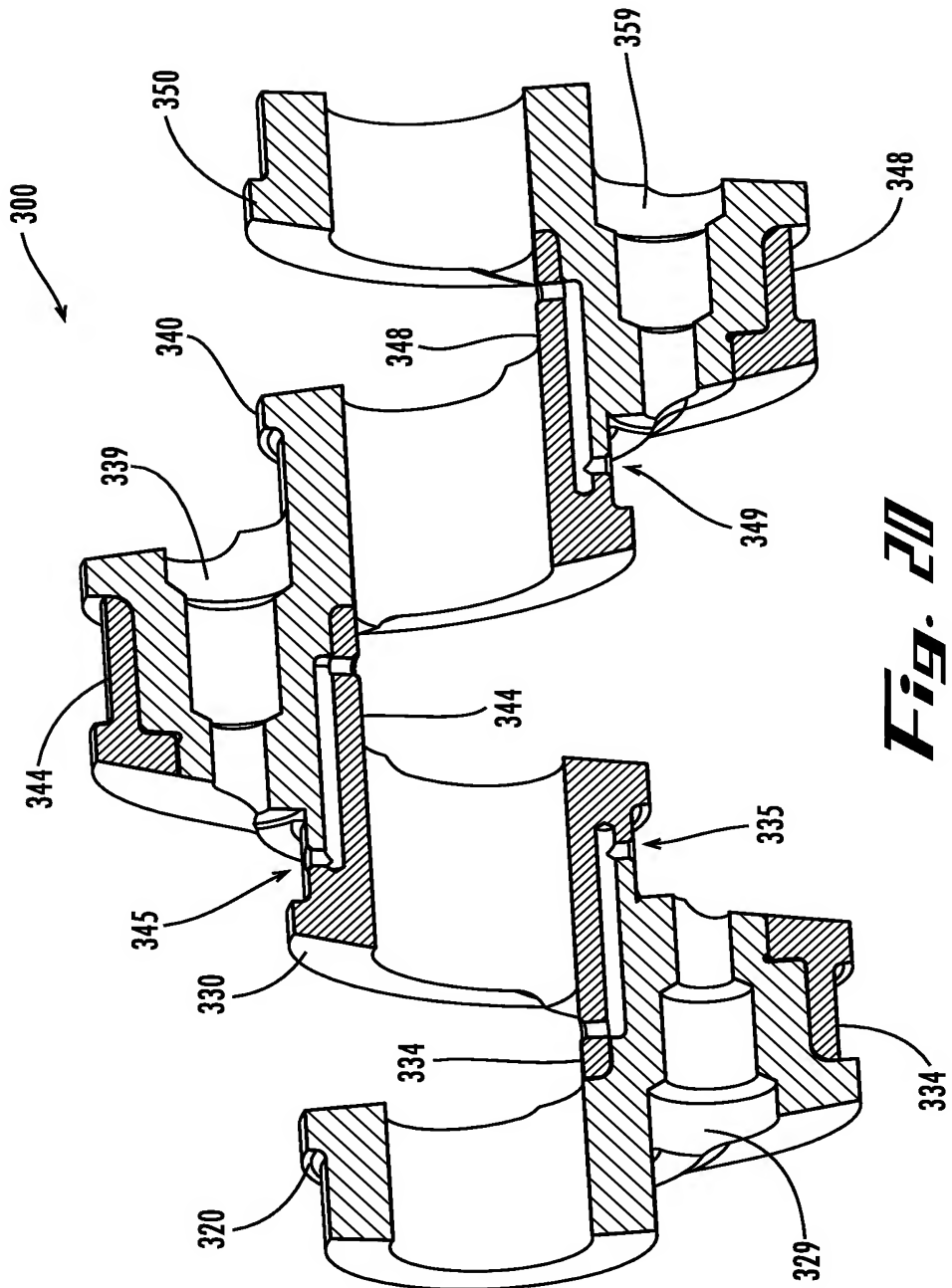


Fig. 19



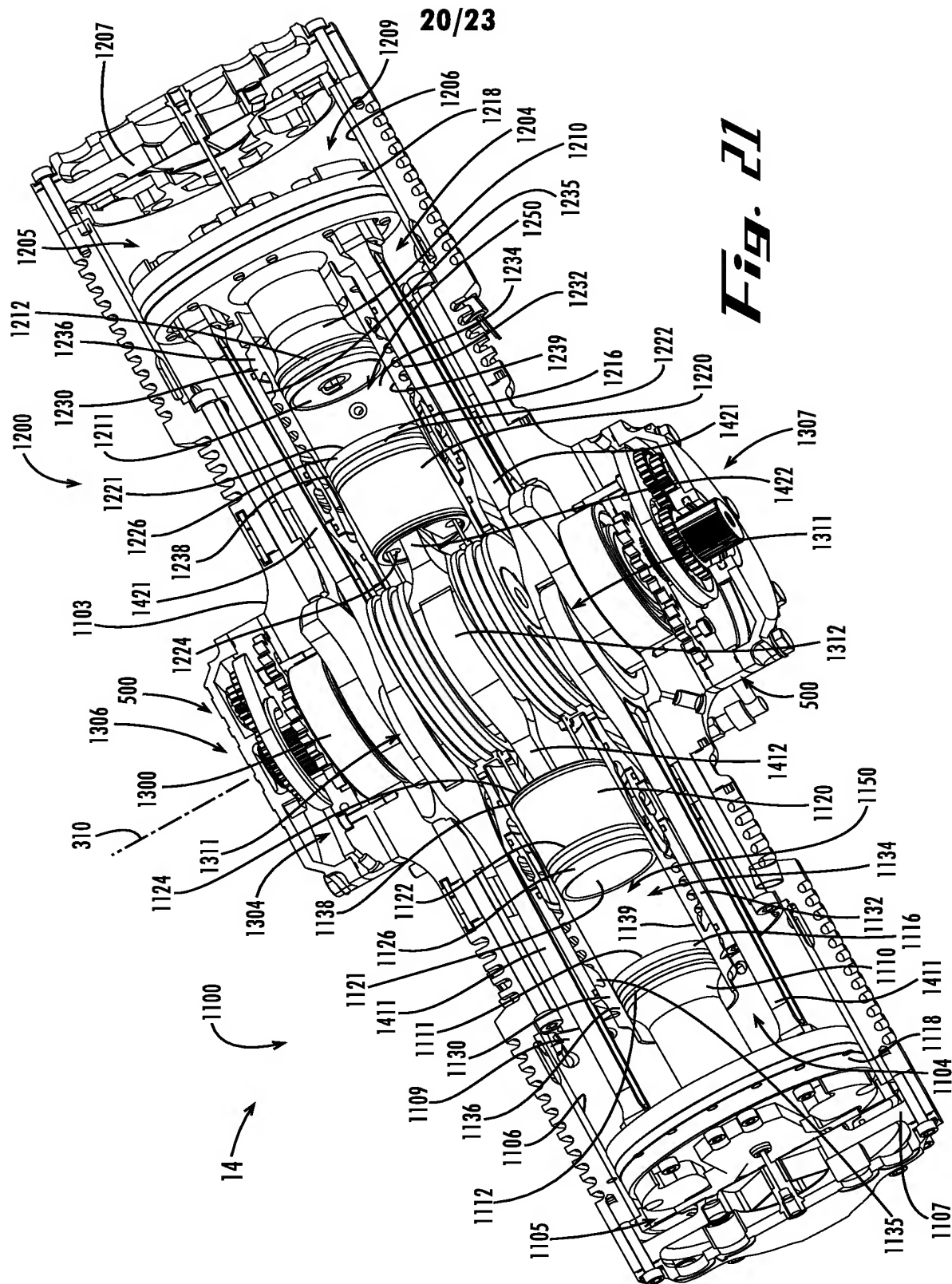
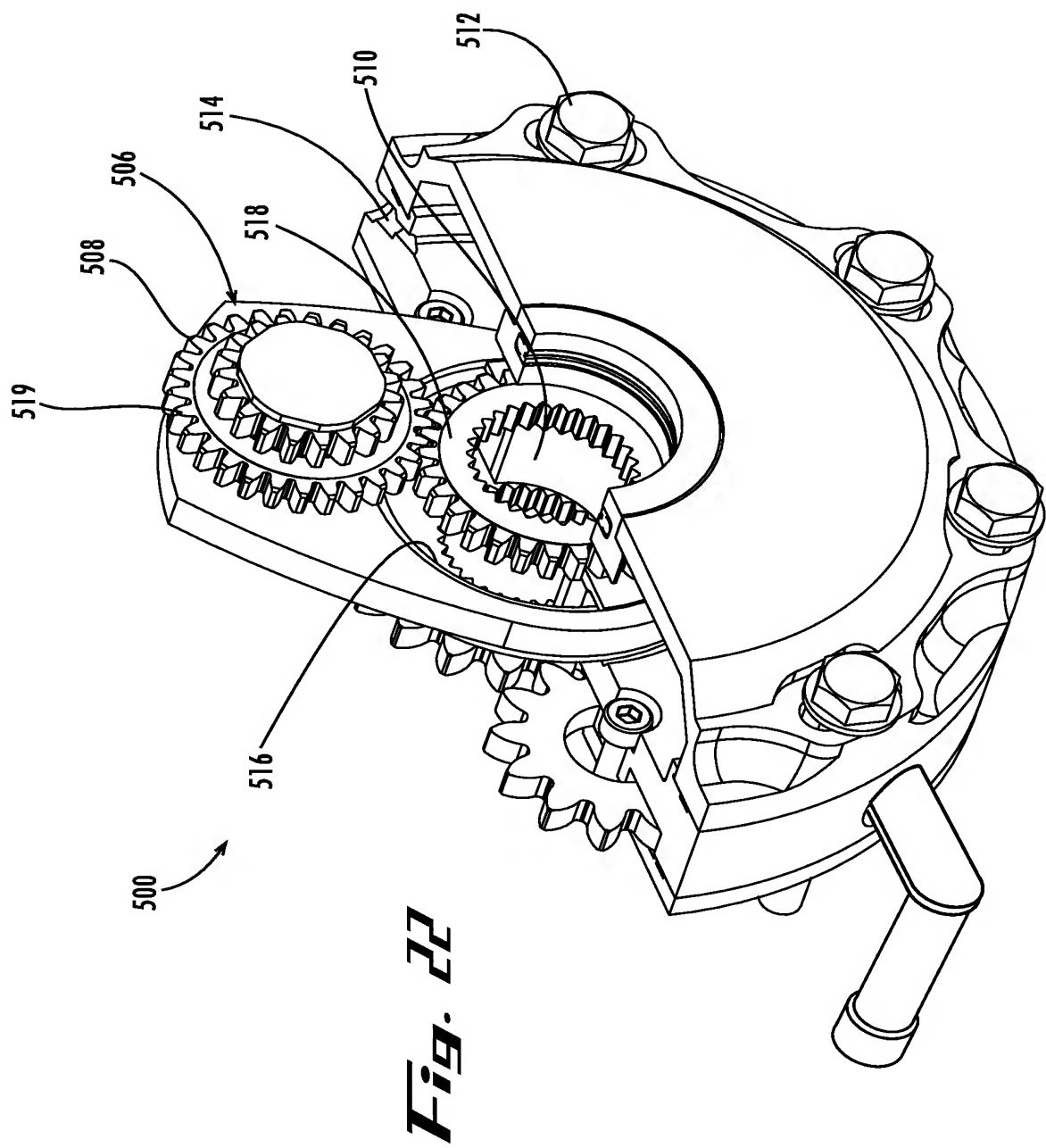
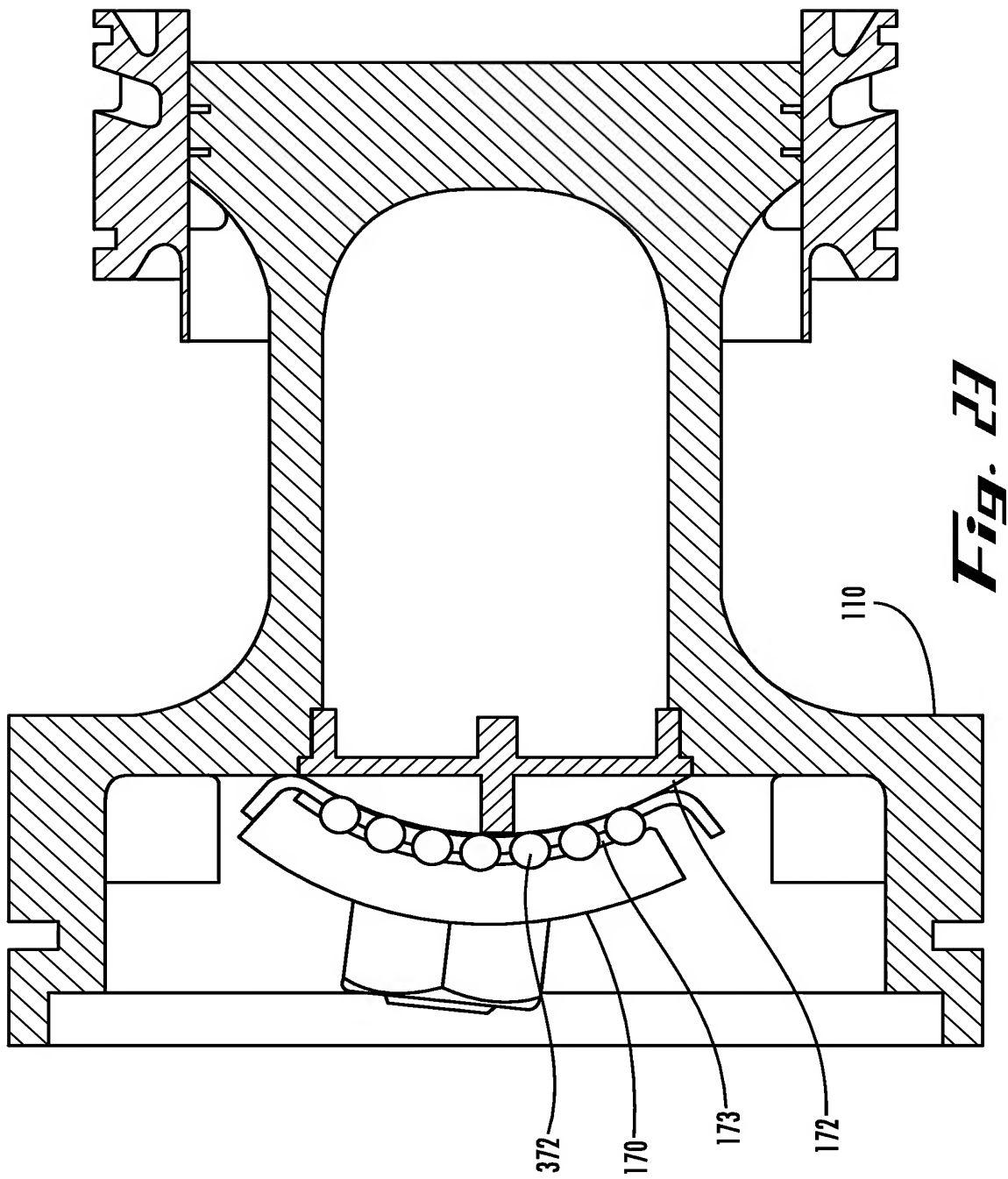


Fig. 21





23/23

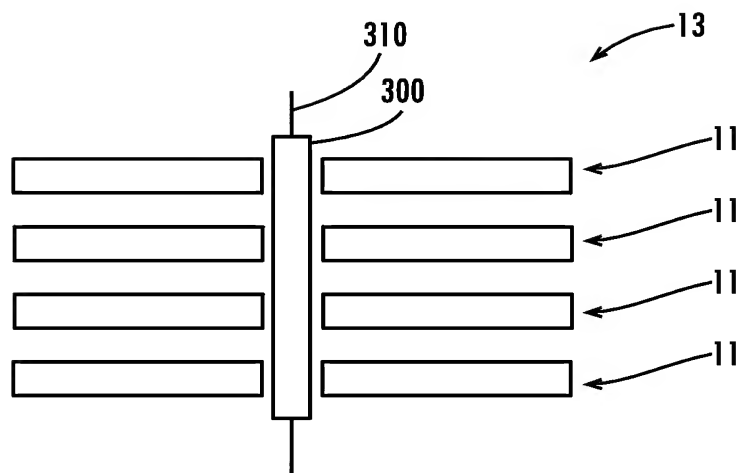


Fig. 24

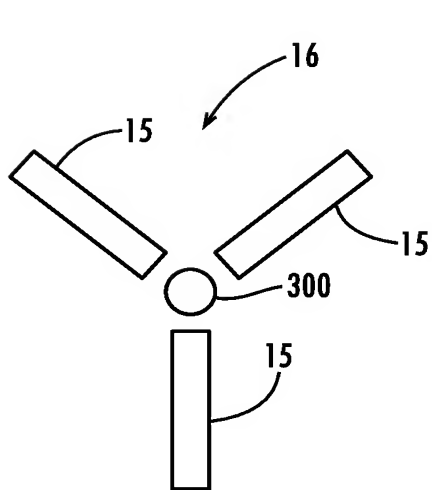


Fig. 25

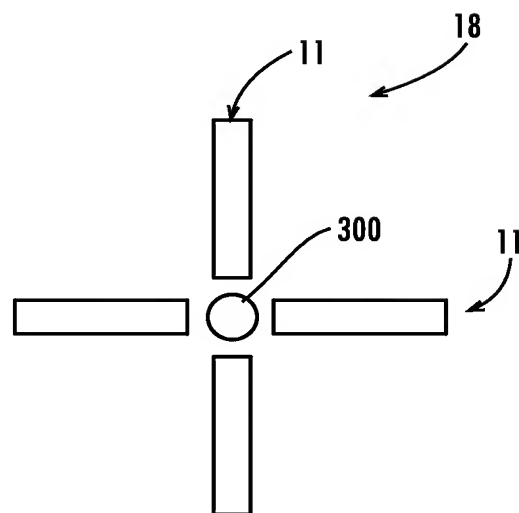


Fig. 26